



Informação própria do símbolo S com probabilidade P_S em fontes sem memória: $I_S = \log_2 P_S^{-1}$ bits

A Entropia de fonte sem memória com m símbolos S_i com probabilidades P_i : $H_S = \sum_{i=1}^m P_i I_i$ bits/símb

Débito de Informação numa fonte com débito de símbolos r_S : $R_S = r_S H_S$ bits/seg

Comprimento médio dum código com m símbolos: $\bar{N} = \sum_{i=1}^m P_i N_i$ bits/símb

Comprimento médio dum Código de Comprimento Fixo Mínimo (CCFM) com m símbolos N_f :

$N_f = \log_2(m_{int})$ bits/símb, em que m_{int} é a primeira potência de 2 igual ou maior que m

Rendimento dum código: $\rho = H_S / \bar{N}$, Compressão dum código: $c = (N_f - \bar{N}) / N_f$, $c_{max} = (N_f - H_S) / N_f$

Limites ao comprimento médio dum código (K é número de blocos na codificação): $H_S \leq \bar{N} < H_S + \frac{1}{K}$

Informação própria condicional dum símbolo S em fontes com memória de 1ª ordem e m símbolos:

$I_c(S) = \sum_{i=1}^m (P_{i|S} \log_2 P_{i|S}^{-1})$ bits/símb, em que $P_{i|S}$ é a probabilidade do símbolo S_i aparecer depois do símbolo S . Ou seja, a informação própria condicional dum símbolo S tem em consideração as diversas probabilidades associadas ao aparecimento desse símbolo antes dum qualquer outro símbolo do alfabeto da fonte, incluindo ele próprio. Esta informação própria também é designada por Entropia Condicional relativa ao símbolo S , ou $H_c(S)$. A Entropia (ou entropia real) em fontes com memória de 1ª ordem e m símbolos é dada por: $H_R = \sum_{i=1}^m P_i I_c(S_i)$ bits/símb, em que P_i é a probabilidade simples do símbolo S_i aparecer.

Frequência de amostragem na digitalização: $f_a \geq 2 * B$ Hz

$K = \text{int}[\log_M q]$ símbolos digitais/discretos (se $M = 2$, então dígitos digitais são bits)

Nota: $\text{int}(x)$ é o mínimo número inteiro, maior ou igual a x .

Ritmo de símbolos digitais/discretos gerados na conversão AD: $r_c = K * f_a$ símbolos/seg

Relação entre a potência do sinal (S) e a potência do ruído de quantização (N_q):

$$\left(\frac{S}{N_q}\right)_{dB} = 10 * \log_{10} \left(\frac{S}{N_q}\right) \text{ e } N_q = \frac{1}{3 * q^2} W$$

Se $S \leq 1W$ e base de representação dos símbolos digitais for $M = 2$ (binário), então:

$$\left(\frac{S}{N_q}\right)_{dB} \leq 4.8 + 6 * K$$

Lei de Hartley-Shannon (capacidade do canal): $C = B_T * \log_2(1 + \frac{S}{N})$ bits/seg

Potência do ruído gaussiano: $N = \eta * B_T$ Watt, em que η é a constante de densidade de potência do ruído em Watt/Hz.

Ritmo de Nyquist: $r_S \leq 2 * B_T$ símb/seg

λ – Ritmo médio de chegadas de DU, em DUs/seg

(ou pacotes ou tramas ou mensagens)

λ_i – λ para a entrada i , em DUs/seg

r_{be_i} – Ritmo nominal na linha de entrada i , em bits/seg

α_i – Taxa média de ocupação da entrada i

K – Tamanho dos DUs, em bits

N – Número de entradas do multiplexador

r_{bs} – Ritmo nominal da linha de saída, em bits/seg

ρ – Utilização/Rendimento da linha de saída

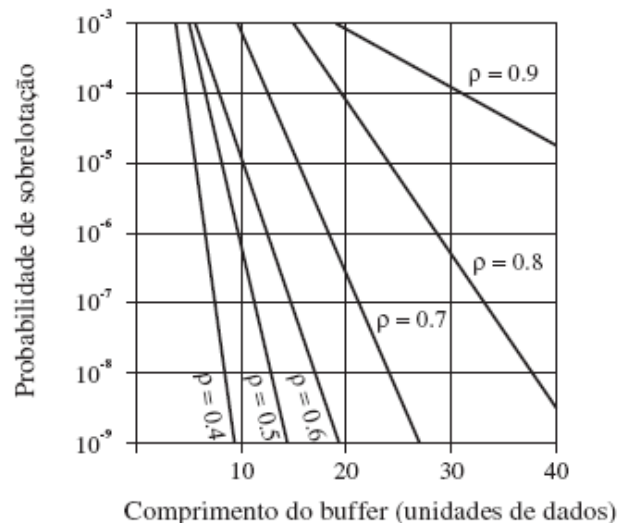
\bar{S} – Tempo de serviço (tempo de envio dum DU)

\bar{t}_w – Atraso médio dos DUs no *buffer*/fila de espera

\bar{t}_q – Atraso médio dos DUs no multiplexador

\bar{n}_w – Número médio de DUs no *buffer*/fila de espera

\bar{n}_q – Número médio de DUs no multiplexador





$$\begin{aligned}\lambda &= \frac{1}{K} * \sum_{i=1}^N (\alpha_i * r_{be_i}) & \alpha_i * r_{be_i} &= \lambda_i * K \\ \bar{S} &= \frac{K}{r_{bs}} & \rho &= \lambda * \bar{S} = \frac{1}{r_{bs}} * \sum_{i=1}^N (\alpha_i * r_{be_i}) \\ \bar{t}_q &= \bar{S} + \bar{t}_w & \bar{t}_w &= \frac{\rho * \bar{S}}{2 * (1 - \rho)} \\ \bar{n}_q &= \rho + \bar{n}_w & \bar{n}_w &= \frac{\rho^2}{2 * (1 - \rho)} = \frac{\rho}{\bar{S}} * \bar{t}_w\end{aligned}$$

Sinal periódico representado como uma série de sinusoides:

$$x(t) = C_0 + \sum_{n=1}^{+\infty} [C_n * \cos(2\pi n f_0 t + \phi)]$$

Teorema da potência de Parseval (espectro bilateral):

$$S = \langle |v(t)|^2 \rangle = \frac{1}{T_0} \int_{T_0} |v(t)|^2 dt \Leftrightarrow S = \sum_{n=-\infty}^{+\infty} |C_n|^2 = C_0^2 + 2 * \sum_{n=1}^{+\infty} |C_n|^2$$

Modulação em frequência:

$$v(t) * \cos(2\pi f_p t) \Leftrightarrow \frac{1}{2} [V(f - f_p) + V(f + f_p)]$$

$$g_{dB} = 10 * \log_{10}(g) \Leftrightarrow g = 10^{g_{dB} * 10^{-1}}$$

Atenuação tendo em conta o coeficiente de atenuação α multiplicador a cada Km: $L = \alpha^d$

Atenuação tendo em conta o coeficiente de atenuação α_{dB} linear a cada Km: $L_{dB} = \alpha * d$

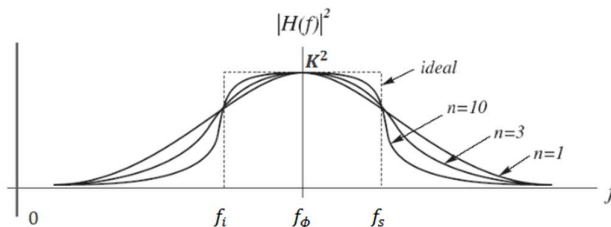
Para sistemas de transmissão com n troços, com um amplificador no final de cada troço:

$$P_s = P_e * \prod_{i=1}^n (g_i * L_i) \Leftrightarrow P_{s_{dBm}} = P_{e_{dBm}} + \sum_{i=1}^n (g_{db_i} + L_{dB_i})$$

Sistema de transmissão/Filtro *Butterworth* de ordem n :

$$H(f) = \frac{K}{1 + j * \left(\frac{f - f_\phi}{f_s - f_\phi} \right)^n}$$

$ H(f) ^2 = \frac{K^2}{1 + \left(\frac{f - f_\phi}{f_s - f_\phi} \right)^{2n}}$	$f_i = f_\phi - (f_s - f_\phi) = 2 * f_\phi - f_s$ $ H(f_s) ^2 = \frac{K^2}{2} \quad B_T = [f_i, f_s]_+$
--	--



Largura de banda de transmissão, banda passante ou a meia potência: $B_T = [f_i, f_s]_+$

Bandas de Rejeição: $B_{RJ} = [-\infty, f_{ri}]_+ \mid [f_{rs}, +\infty]_+$

Bandas de Transição: $B_{TR} = [f_{ri}, f_i]_+ \mid [f_s, f_{rs}]_+$

1 miliwatt (mW) = 10^{-3} watts, 1 microwatt (μ W) = 10^{-6} watts, 1 nanowatt (nW) = 10^{-9} watts

1 picowatt (pW) = 10^{-12} watts, 1 femtowatt (fW) = 10^{-21} watts